

South Baikal $^{234}\text{U}/^{238}\text{U}$ tracer in groundwaters of active faults in Irkutsk Prebaikalia

Южно-Байкальский $^{234}\text{U}/^{238}\text{U}$ -трассер в подземных водах активных разломов Иркутского Предбайкалья

Рассказов С.В.^{1,2}, Чувашова И.С.^{1,2}, Борняков С.А.^{1,2}, Чебыкин Е.П.^{1,3}, Ильясова А.М.¹, Оргильянов А.И.¹, Бадминов П.С.¹, Крюкова И.Г.¹, Семинский А.К.¹, Попов Е.П.¹, Коваленко С.Н.²

¹Институт земной коры СО РАН, Иркутск, Россия, rassk@crust.irk.ru

²Иркутский государственный университет, Иркутск, Россия

³Лимнологический институт СО РАН, Иркутск, Россия

ОБЪЕКТ ИССЛЕДОВАНИЯ

Объект исследований – трещинные подземные воды активных разломов южной деформированной части Сибирского палеоконтинента и аккреционного к нему Хамардabanского террейна. Центральное положение на территории занимает полоса архейских и палеотерозойских метаморфических и магматических пород Шарькалпайского выступа кристаллического фундамента, протянувшаяся в направлении на запад-северо-запад, и параллельная этому поднятию полоса пород осадочного чехла неогроуэоя, нижнего кембрия, юры и палеоцена-эоцена в Трикуричской впадине Сибирской платформы. Породы фундамента надрывлены на породы осадочного чехла по Ангарскому надвигу (рис. 1). Иркутское Предбайкалье относится к 8–9-балльной сейсмической зоне. Параметр ОА4/8 в подземных водах меняется в зависимости от активности разлома. Наряду с деформационным эффектом, в подземных водах проявлен эффект возрастания ОА4/8 вследствие химического взаимодействия подземных вод с эвапоритами осадочного чехла Сибирской платформы.

В работу вовлечено более 1000 проб, отобранных из родников и скважин в 2012–2020-х гг.

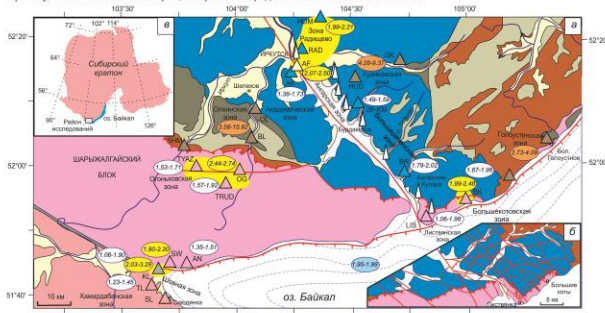


Рис. 1. Схема зональности ОА4/8 подземных вод в Иркутском Предбайкалье. На карте показаны разломы в районе оз. Лиственная (Деминев et al., 1983), в на краеве в – метастаполического района работ на юге Сибирского кратона. Цветовым условным обозначением разновозрастных пород соответствуют преэволюционные обозначения мест осадочных породных выходов: из палеоцен-миоценовых отложений долины р. Ангары, заложившей по Ангарскому разлому (АР); из юрских отложений правобережья р. Ангары – Юго-Восточный (ЮВ), Радвишево (РАД), Юго-Западный (ЮЗ), Юго-Северный (ЮС), Большой Ручей (БР), левобережья р. Ангары – Александровский (АК); из отложений неогроуэоя и нижнего кембрия – Худобинское (ХУД), Горный Колодезь (ГК), Озера (ОЗ), Большой Дух (БД), Шаманский мыс (ШМ); из фундамента Сибирской платформы – Тесный Восток (ТВ), Озёры (ОЗ), Трудовой (ТРУД), Сиверт (СИ), Анастасия (АН), Лиственная (ЛИ); из шовной зоны между фундаментом Сибирской платформы и Хамардabanского террейна – Кутутк (КУ), из Хамардabanского террейна – Талая (ТА), Слюдянка (СЛ).

Рис. 1. Схема зональности ОА4/8 подземных вод в Иркутском Предбайкалье. На карте показаны разломы в районе оз. Лиственная (Деминев et al., 1983), в на краеве в – метастаполического района работ на юге Сибирского кратона. Цветовым условным обозначением разновозрастных пород соответствуют преэволюционные обозначения мест осадочных породных выходов: из палеоцен-миоценовых отложений долины р. Ангары, заложившей по Ангарскому разлому (АР); из юрских отложений правобережья р. Ангары – Юго-Восточный (ЮВ), Радвишево (РАД), Юго-Западный (ЮЗ), Юго-Северный (ЮС), Большой Ручей (БР), левобережья р. Ангары – Александровский (АК); из отложений неогроуэоя и нижнего кембрия – Худобинское (ХУД), Горный Колодезь (ГК), Озера (ОЗ), Большой Дух (БД), Шаманский мыс (ШМ); из фундамента Сибирской платформы – Тесный Восток (ТВ), Озёры (ОЗ), Трудовой (ТРУД), Сиверт (СИ), Анастасия (АН), Лиственная (ЛИ); из шовной зоны между фундаментом Сибирской платформы и Хамардabanского террейна – Кутутк (КУ), из Хамардabanского террейна – Талая (ТА), Слюдянка (СЛ).

РЕЗУЛЬТАТЫ ИССЛЕДОВАНИЯ

Пробы воды, отобранные в трех точках Южного Байкала с глубиной от первых м до 1000 м, дали преимущественные интервалы ОА4/8 = 1.95–1.99 и [U] = 0.44–0.46 мкг/дм³ (с повышением в отдельных пробах [U] до 0.53 мкг/дм³). Для этих же проб определены значения изотопного отношения $^{234}\text{Sr}/^{238}\text{Sr}$ = 0.70863 (частично в расширенном диапазоне 0.70850–0.70885) и концентрации стронция [Sr] = 98–100 мкг/дм³. U–Sr-изотопная систематика, с одной стороны, дает эталон однородного глубоководного резервуара Южного Байкала, с другой стороны, служит чувствительным индикатором загрязнения поверхностных и прибрежных вод озера, которая выражается в расширении диапазонов концентраций и изотопных отношений U и Sr относительно эталонного глубоководного ЮБР (рис. 2). По полученным данным обозначены латеральные и вертикальные гидроизотопные зоны с химическим и деформационными эффектами. Первый эффект выражен в существенном возрастании ОА4/8 минерализованных подземных вод из эвапоритовых толщ осадочного чехла Сибирской платформы в трех латеральных зонах: Опинской (неопротерозойско-нижнекамбрийские отложения, ОА4/8 = 3.58–15.32), Худобинской (кембрийские отложения, латеральные юрские отложения, ОА4/8 = 4.28–9.37) и Голуновской (неопротерозойские отложения, ОА4/8 = 2.73–4.09) (рис. 3).

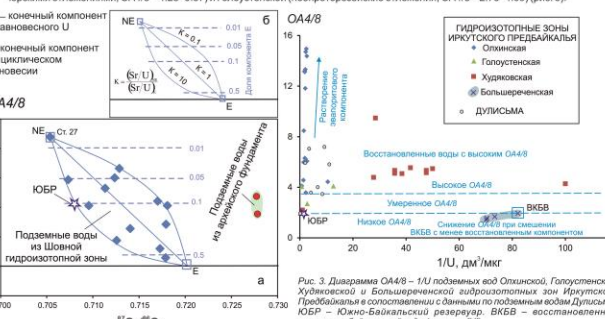


Рис. 3. Диаграмма ОА4/8 – 1/U подземных вод Опинской, Голуновской, Худобинской и Бадминовской гидроизотопных зон Иркутского Предбайкалья в сопоставлении с данными по подземным водам Дулинских ЮБР – Южно-Байкальский резервуар, ВКБВ – восстановленный компонент байкальской воды (с низким [U]).

Второй эффект проявлен в умеренном возрастании ОА4/8 пресных вод из активных разломов, пересекающих породы пяти зон: Ангарской и Радвишево (юрские и палеоцен-миоценовые отложения, ОА4/8 = 2.07–2.50 и 1.99–2.21, соответственно) (рис. 4), Большешероветской и Опинской (метаморфические и магматические породы раннего докембрия, ОА4/8 = 1.67–2.48 и 1.53–2.74, соответственно) и Шовной (микстита между фундаментом Сибирского палеоконтинента и Хамардabanским террейном, ОА4/8 = 1.06–3.29) (рис. 5). Сложное нарушение циклического равновесия изотопов урана в подземных водах определено в тектонически-неактивных структурах раннего докембрия Шарькалпайского блока (зоны Ангарская, ОА4/8 = 1.35–1.51 и Лиственная, ОА4/8 = 1.06–1.98), в юрских отложениях Академической зоны (ОА4/8 = 1.38–1.73) и в метаморфических породах Хамардabanского аккреционного террейна (ОА4/8 = 1.23–1.45) (рис. 6). В Лиственной, Большешероветской, Шовной и Ангарской зонах связанными являются жесткие подземные воды участков окисления с равновесным ураном.

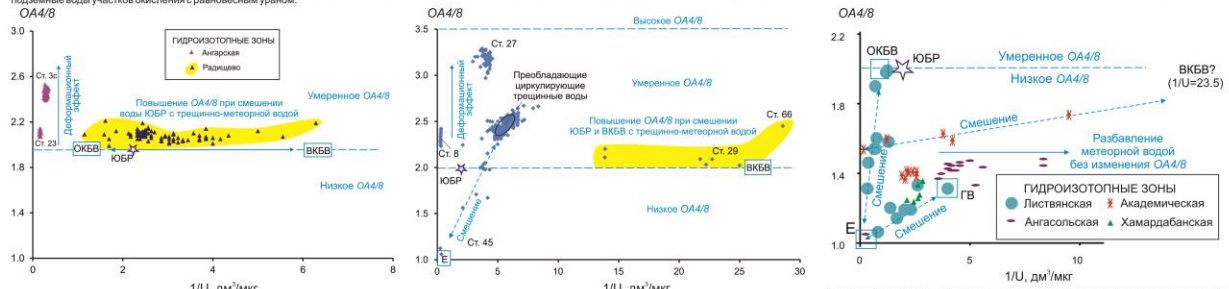


Рис. 4. Диаграмма ОА4/8 – 1/U родниковых вод в зонах Ангарская и Радвишево. ЮБР ОКБВ, ВКБВ – обозначения на рис. 6. Рис. 5. Диаграмма ОА4/8 – 1/U подземных вод Шовной гидроизотопной зоны. Усл. обозначения см. рис. 4. ЮБР ВКБВ – обозначения на рис. 6. Рис. 6. Диаграмма ОА4/8 – 1/U подземных вод со слабым нарушением равновесия изотопов U. E – эквивалентный компонент байкальской воды (с высоким [U]), ОКБВ – восстановленный компонент байкальской воды (с высоким [U]), ГВ – родная вода, ВКБВ – восстановленный компонент байкальской воды (с низким [U]), возможно, присутствующий в виде примеси в водах Академической зоны.

Данные мониторинга свидетельствуют о меняющемся во времени соотношении компонентов подземных вод. В минеральной воде из скважины Опинской зоны проявилось прогрессирующее химическое разведение эвапоритов, в результате которого за период наблюдений 2013–2018 гг. ОА4/8 возросло от 11.82 до 15.92, а в 2019 г. немного снизилось до 15.71). Соответственно, содержание Са сначала повысилось от 162 мг/дм³ до 470 мг/дм³, а затем понижилось до 320 мг/дм³. В подземных водах Худобинской зоны в течение 2014 г. менялись пропорции компонентов неогроуэоя-нижнекамбрийских эвапоритов, юрских песчаных и модифицированных компонентов ЮБР в Шовной зоне значения ОА4/8 возрасли с усилением циркуляции подземных вод при открытии трещины и снижались при закрытии с выходом на сейсмологическое состояние, продолжавшееся в течение нескольких месяцев. В воде ст. 27 концентрации изотопа ^{234}U снижались, при минимальных значениях которого случился Голуновский землетрясение с магнитудой 4.7. В Трикуричской впадине Е. В. Пиннергом и др. [1968] была охарактеризована вертикальная гидрохимическая зональность. Подобная вертикальная зональность выделена в других частях осадочного чехла Сибирской платформы. Вертикальные гидроизотопные зоны определены на газодинамическом месторождении Дулинском, в котором зона пресных вод с общей минерализацией 0.6 г/дм³ прослеживается с поверхности (абсолютные отметки 500–600 м) на глубины 300–400 м и ниже смешиваясь зонами более минерализованных вод и распадаю (рис. 7).

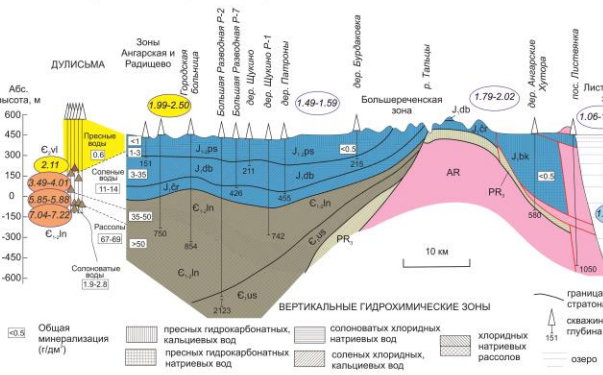


Рис. 7. Схема вертикальной гидрохимической разрезе Иркутск–Лиственная Трикуричской впадины (южный край Сибирского кратона) и нефтяногазодинамического месторождения Дулинском (внутренняя часть кратона). Усл. обозначения см. рис. 1. Структурно-геологическое подразделение: РР – неогроуэоя, нерасчлененный; кембрийские сланцы; С.уз – юрская, С.лп – литвицкая, С.лв – верхняя часть или литвицкая, С.лн – нижняя часть или литвицкая. В разрезе Иркутск–Лиственная были выделены вертикальные гидрохимические зоны, в разрезе Дулинском – дополнительно сделаны определения ОА4/8. Профиль Иркутск–Лиственная из работы [Пиннерг et al., 1968] с изменением.

Прецизионные измерения ОА4/8 и [U] выполнялись методом ИСР-МС на квадрупольном масс-спектрометре Agilent 7500ce в центре коллективного пользования «Ультраграницы» (ЛИИ СО РАН). Работа выполнена при финансировании грантом РФ 18-17-10027.

ОБСУЖДЕНИЕ

Компонентный состав вод обозначенных гидроизотопных зон идентифицирован с использованием диаграмм смешения ОА4/8 – 1/U. Существенная роль вод из резервуара Южного Байкала как основного компонента подземных вод определена в участках распространения пологих разрывов Ангарского надвига (особенно в северо-восточном крае активного Ангарского разлома), а также в субвертикальных разрывах шовной зоны Главного Санского разлома с современной сдвиговой компонентой (рис. 8). Для подземных вод из милонитов Главного Санского разлома смешение компонентов южно-байкальских и подземных вод подтверждено построением модели смешения на диаграмме ОА4/8 – $^{234}\text{Sr}/^{238}\text{Sr}$.

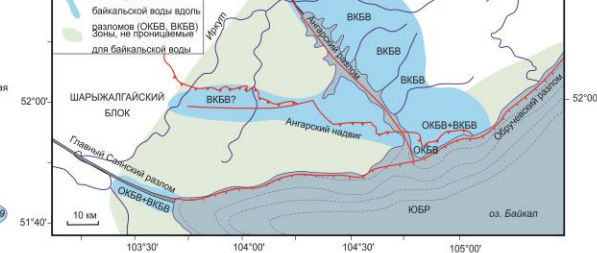


Рис. 8. Схема проникновения воды ЮБР вдоль разлома Иркутского Предбайкалья. Усл. обозначения см. на рис. 1. ВКБВ обозначает восстановленный компонент байкальской воды при проникновении воды ЮБР.

ЗАКЛЮЧЕНИЕ

В вертикальной и горизонтальной зональности ОА4/8 подземных вод южного деформированного края Сибирского палеоконтинента проявилась связь вариаций этого параметра с минерализацией подземных вод. По трендам смешения на диаграммах ОА4/8 – 1/U обозначилась определяющая роль вод, распространяющихся от Южного Байкала под его побережье. Предполагается, что латеральное продвижение вод ЮБР способствует развитию пологих (ослабленных при рифтогенезе) разрывов Ангарского надвига и субвертикальных разрывов сдвиговой шовной зоны Главного Санского разлома.

1. Пиннерг Е.В., Пасаров С.И., Пономов С.И., Корсакина Р.Я., Деминев А.А., Шемин С.И. Геология Иркутского Предбайкалья – Москва: изд-во Наука, 1968. – 170 с.
 2. Рассказов С.В., Чувашова И.С., Лыгина Т.А., Федилов Н.Н., Сорванев Е.В., Калинина В.А. и др. Геология и гидрогеология Байкальского озера в кайнозойскую эру. – Новосибирск: Академическое изд-во ГЕО, 2012. – 351 с.
 3. Чебыкин Е.П., Рассказов С.В., Вадван Е.Н., Ильясова А.М., Чувашова И.С., Борняков С.А., Семинский А.К., Попов Е.П. Первые результаты мониторинга $^{234}\text{U}/^{238}\text{U}$ в воде из активных разломов западного побережья Южного Байкала // Доклады академии наук. – 2013. – Т. 1460. № 4. С. 464–467.
 4. Hagan B.B., Graham D.W. Lead and helium isotopic evidence from oceanic basalts for a common deep source of mantle plumes // Science. – 1996. – V. 272. – P. 991–995.
 5. Hall E.H., Whitehead J.A., Hart S.R. Fluid dynamic and geochemical aspects of entrapment in marble plumes // J. Geophys. Res. – 1994. – V. 99. – P. 24275–24300.